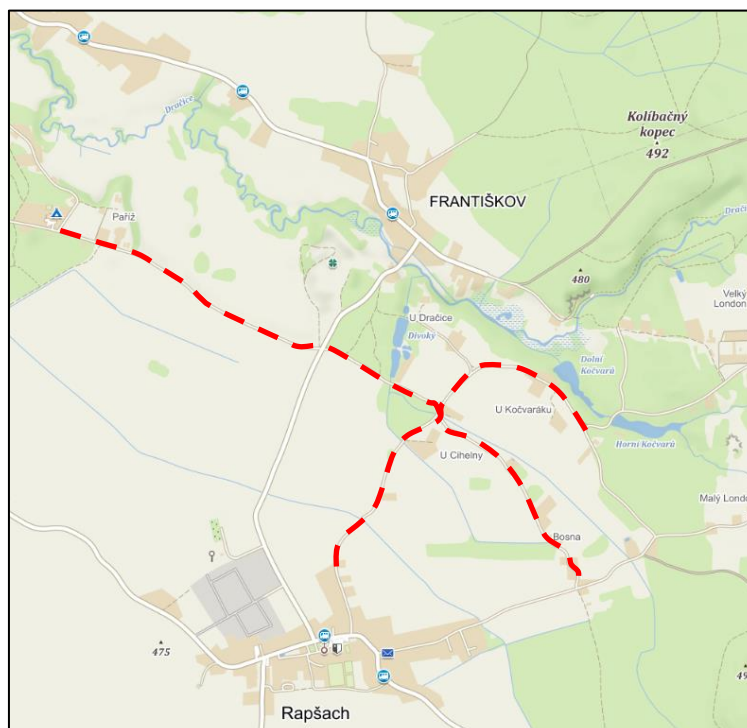


## Závěrečná zpráva

o výsledcích inženýrskogeologického průzkumu pro rekonstrukci  
polních cest u obce Rapšach u Suchdola nad Lužnicí.



**OBSAH:**

1. Úvod.....	3
2. Průzkumné práce.....	3
2.1. Vrtné práce .....	3
2.2. Odběr vzorků .....	4
2.3. Zaměření .....	4
3. Geologické a hydrogeologické poměry .....	5
3.1. Geologické poměry.....	5
3.2. Hydrogeologické poměry .....	6
4. Geotechnické vlastnosti .....	6
4.1. Komunikace, parkoviště .....	6
4.2. Základová půda.....	7
5. Závěr .....	8
5.1. Morfologie .....	8
5.2. Geologická a hydrogeologická charakteristika.....	8
5.3. Podzemní voda .....	8
5.4. Aktivní zóna .....	9
5.5. Vodní režim .....	9
5.6. Zemní práce .....	9
5.7. Založení drobných objektů, obecná doporučení.....	10

**Tabulky:**

tabulka 1 - Přehled provedených sond .....	4
tabulka 2 - Zastižené zeminy a horniny .....	5
tabulka 3 - Zařazení zemin podle vhodnosti do násypů a pro podloží .....	6
tabulka 4 - Namrzavost zemin.....	7
tabulka 5 - Směrné normové charakteristiky zemin.....	7
tabulka 6 - Sklony svahů .....	9

**PŘÍLOHY:**

1. Schéma situace sond	bez měřítka
2. Dokumentace sond	
3. Vysvětlivky grafických značek	
4. Laboratorní rozbor zemin	

## **1. Úvod**

- Účel průzkumu : Cílem inženýrskogeologického průzkumu bylo zjistit složení zemin v podloží stávajících polních cest u obce Rapšach u Suchdola nad Lužnicí, které mají být rekonstruovány.
- Objednatel : P-Atelier JH s.r.o.
- Umístění stavby : Cesty s označením C2, C18, C19 a C26 se nachází severně od obce Rapšach. Cesty propojují Rapšach a četné přilehlé osady nebo samostatné statky. Průběh jednotlivých cest je patrný z přehledné situace na titulní stránce této zprávy a z přílohy číslo 1 – Schéma situace sond.
- Podklady : Snímek z katastrální mapy se znázorněním polohy jednotlivých cest a jejich označením a délkou v digitální podobě, geologická mapa České Republiky v měřítku 1 : 50000.
- Současný stav : V době provádění průzkumných prací byly všechny cesty zpevněné. Cesta C2 vedoucí z osady Paříž jihovýchodním směrem byla konstruována na větší zatížení, její asfaltem penetrovaná vrstva písčitého šterku byla na většině úseku v lepším stavu než zbývající úseky cest. Povrch těchto cest tvořily písky s příměsí šterku na písčité šterky s penetračním postřikem o relativně malé mocnosti. Jejich povrch byl na mnoha místech poškozen provozem vozidel a opravován. Výtlučky byly vyspraveny často jen šterkopísčitým zásypem bez použití penetrace. Celková délka všech cest dosahovala 4,32 km. Povrch terénu byl dosti rovinný s jen velmi mírným převýšením. Cesty většinou kopírovaly povrch terénu. Místa byly patrné nízké násypy, zejména v oblasti křížení cesty s vodotečemi nebo jinými komunikacemi.
- Metodika průzkumu : Podkladem pro vyhodnocení provedeného inženýrskogeologického průzkumu byly poznatky ze 21 jádrových vrtů, výsledky laboratorních rozborů zemin. Vyhodnocení průzkumných prací bylo provedeno dle ČSN 73 6133 - Návrh a provádění zemního tělesa pozemních komunikací s přihlédnutím ke starým, dnes již neplatným, normám ČSN 72 1002 – Klasifikace zemin pro pozemní komunikace, ČSN 73 1001 . Základová půda pod plošnými základy a ČSN 73 3050 – Zemní práce.
- Evidence : Zakázka podléhá evidenční povinnosti u České geologické služby – Geofondu.

## **2. Průzkumné práce**

### **2.1. Vrtné práce**

Technické práce na lokalitě jsem provedl ve dnech 27.09. a 28.09.2022 V trase stávajících cest jsem vyhloubil celkem 21 jádrových sond do hloubky 2 metrů. Celkem jsem vyhloubil 42 bm sond. Poloha sond byla volena tak, aby trasa cest byla co nejlépe sondami popsána. K hloubení jsem použil vrtnou soupravu Wacker BH

65, kde je vrtné soutyčí s odběrnými jádrovkami o průměru od 40 do 70 mm údery zaráženo do podloží. K vrtání nebyl použit výplach. Výnos jádra byl cca 95%.

**tabulka 1 - Přehled provedených sond**

sonda	výška (m)	hloubka (m)	naražená hladina (m) 28.09.2022	ustálená hladina (m) 28.09.2022
J01	100	2,0	nezjištěna	-
J02	100	2,0	1,0	vrt zavalen
J03	100	2,0	nezjištěna	-
J04	100	2,0	nezjištěna	-
J05	100	2,0	nezjištěna	-
J06	100	2,0	nezjištěna	-
J07	100	2,0	nezjištěna	-
J08	100	2,0	1,0	0,6
J09	100	2,,0	nezjištěna	-
J10	100	2,0	1,1	vrt zavalen
J11	100	2,0	1,2	vrt zavalen
J12	100	2,0	nezjištěna	-
J13	100	2,0	nezjištěna	-
J14	100	2,0	nezjištěna	-
J15	100	2,0	nezjištěna	-
J16	100	2,0	nezjištěna	-
J17	100	2,0	nezjištěna	-
J18	100	2,0	nezjištěna	-
J19	100	2,0	nezjištěna	-
J20	100	2,0	nezjištěna	-
J21	100	2,0	nezjištěna	-

## **2.2. Odběr vzorků**

Z vyhloubených sond jsem odebral sedm vzorků charakterizujících zastižené zeminy. Vzorky byly předány k laboratornímu stanovení indexových vlastností a provedení zrnitostního rozboru. Vzorky byly odebrány do vzduchotěsných plastových pouzder, aby se zabránilo vysušení zemin. Rozbory provedla vlastní laboratoř mechaniky zemin dle příslušných norem.

Podzemní voda byla zastižena jen v několika sondách. Jednalo se však především o místa, kde nebyla předpokládána výstavba betonových stavebních objektů. V místě křížení cesty C19 s místní vodotečí došlo po dokončení vrtu J02 k zavalení stěn sondy, což znemožnilo odběr vzorku vody.

## **2.3. Zaměření**

Polohu jednotlivých vrtů jsem stanovil orientačně turistickým přístrojem Garmin v souřadnicích GPS. Stupně severní šířky a východní délky jsem početně transformoval do systému JTSK pomocí převodního programu Wgs84. Výškové zaměření povrchu terénu v místech jednotlivých sond nebylo provedeno. Z důvodu požadavku programu na grafické zpracování dokumentace sond jsem u všech zadal smyšlenou hodnotu 100,0 m.

### 3. Geologické a hydrogeologické poměry

#### 3.1. Geologické poměry

V okolí zájmového území tvoří výplň lomnické pánve druhohorní a třetihorní sedimenty jezerního původu. Tyto sedimenty spočívají na krystalických břidlicích a variských magmatitech moldanubika. Na bázi pánevní výplně jsou uloženy sedimenty spodního oddílu klikovského souvrství. Ty v místě zájmového území vystupují téměř k povrchu terénu, v nivě Lužnice či jiných vodotečí jsou překryty terasou šterkovitých písků. Horniny klikovského souvrství jsou zastoupeny červenohnědými pevnými jíly až jílovci či jílovitými, ulehlými šedými písky. Při povrchu terénu jsou tyto sedimenty vlivem exogenních činitelů nezpevněné, takže se jedná o jílovité písky, písčité jíly a jíly. Maximální mocnost spodního oddílu klikovského souvrství je 120 m.

Kvartérní pokryv tvoří většinou fluvialní sedimenty spodní, akumulární terasy Lužnice. Jedná se o šterkovité písky, při povrchu terénu o hlinité písky až písčité hlíny, místy s prolohami rašelinných sedimentů.

Recentní navážky tvoří konstrukci stávajících cest, většinou se jedná o zeminy místního původu na povrchu zpevněné pomocí asfaltové penetrace.

Geologické vrstvy zastižené při průzkumných pracích jsou popsány v následujícím textu. Každá vrstva je označena symbolem, který je rovněž uveden v příloze č.2 - Dokumentace sond.

**tabulka 2 - Zastižené zeminy a horniny**

Symbol geotypu	Popis	ČSN 73 1005 ČSN 73 6133	mocnost (m)	stáří
<b>R</b>	<b>navážka</b> – zeminy náležející ke konstrukci stávajících cest, převážně se jedná o slabě hlinité nebo hlinité písky s příměsí šterku, místy p písčité šterky, povrch je zpevněn asfaltovou penetrací, výtluky v trasách cest opravovány často jen šterkopísčitými zeminami bez použití asfaltové penetrace, v místě sondy J15 navážky tvoří těleso násypu přecházejícího přes vodoteč	S3/S-F+GY, S4/SM+GY, G3/G-FY,	0,1-2,0	recent
<b>Q1</b>	<b>jíl písčité</b> – převážně pevný	F4/CS	0,5-1,5	kvartér
<b>Q3</b>	<b>písek</b> – slabě hlinitý či slabě jílovitý, vlhký až zvodnělý, středně ulehlý až ulehlý, místy s příměsí šterku	S3/S-F (+G)	0,3-1,9 některé sondy ukončeny před dosažením báze vrstvy	
<b>Q4</b>	<b>písek hlinitý</b> – středně ulehlý až ulehlý, vlhký, místy s příměsí šterku	S4/SM (+G)	0,2-0,9	
<b>Q5</b>	<b>písek jílovitý</b> – středně ulehlý až ulehlý, vlhký	S5/SC	0,8-1,6	
<b>K1</b>	<b>jíl</b> – středně plastický, pevný	F6/CI	1,0-1,2, sondy ukončeny před dosažením báze vrstvy	křída
<b>Y1</b>	<b>eluvium granitu</b> – zcela rozložená hornina na zeminu charakteru hlinitého až slabě hlinitého písku, vlhkého, velmi ulehlého, střednozrného až hrubozrného, s přibývajícím hloubkou zpravidla rychle zpevňuje	R6 – S3/S-F, S4/SM	0,7-1,3, sondy ukončeny před dosažením báze vrstvy	moldanubikum

Uvedené údaje o zastižených horninách a jejich mocnostech se vztahují pouze k místům, kde byly sondy provedeny. V jiných polohách může být složení zemin v podloží odlišné. Při popisu vynesných zemin bylo patrné, že rozhraní mezi jednotlivými zeminami nejsou ostrá, zeminy se vzájemně prolínají, mohou vytvářet

tenké mezivrstvy s odlišným zrnitostním složením. Popsané mocnosti vrstev zemin je proto lépe považovat za orientační.

### **3.2. Hydrogeologické poměry**

Staveniště se nachází v hydrogeologickém masivu, tvořeném magmatickými granodiority překrytými třetihorními pánevními sedimenty náležejícímu do rajonu 6510 – Krystalinikum povodí Lužnice. Zájmové území představuje z hydrogeologického hlediska víceolektorový zvodnělý systém. V přípovrchové zóně magmatických zvětralin je voda vázána na systém rozevřených puklin. V oblasti křídových sedimentů je podzemní voda vázána na průlinově propustné písčité vrstvy. Také přípovrchová kvartérní zvodeň souvisí s polohami průlinově propustných písčitých sedimentů terasy Lužnice a jejích přítoků.

Širší okolí zájmového území je místem infiltrace srážkové vody do podloží. K infiltraci srážkových vod dochází celoplošně prostřednictvím písčitých kvartérních sedimentů, a to zejména na vyvýšeninách hornin krystalinika v okolí erozních brázd, kde více propustná písčítá deluvia a eluvia vystupují až k povrchu terénu. K infiltraci srážkových vod může docházet také na písčitých výchozech pánevních sedimentů.

Infiltrace podzemní voda následně proudí v malých hloubkách k místním erozním bázím, kde skrytě dotuje povrchové vodoteče prostřednictvím fluviálních náplavů. Její hladina bývá nejprve spíše volná, v nižších polohách mírně napjatá. Část podzemních vod proudí také ve větších hloubkách pod povrchem terénu puklinovým systémem ke stejným erozním bázím. Všechny typy zvodnění spolu nejspíše komunikují a nelze je považovat za samostatné oddělené zvodně. Na lokalitě předpokládám směr proudění od východu k západu.

Provedenými mělkými průzkumnými sondami nebyly detailní hydrogeologické poměry ověřeny a výše popsané hydrogeologické poměry je třeba považovat za obecné pro širší oblast lokality. Podzemní voda byla zastížena jen ve čtyřech sondách. Vázána byla na průlinově propustné kvartérní písčité sedimenty. Její vzorek nebylo možné kvůli nestabilitě stěn hloubených vrtů odebrat.

## **4. Geotechnické vlastnosti**

### **4.1. Komunikace, parkoviště**

Vlastnosti zastížených zemin pro použití do hutněných násypů a jako pláň komunikace podle ČSN 73 6133 na základě makroskopického popisu a zařídění hornin uvádí následující tabulka:

**tabulka 3 - Zařazení zemin podle vhodnosti do násypů a pro podloží**

Symbol geotypu	Název zeminy	ČSN 73 6133	Zařazení do násypů	Pro podloží vozovky (pro aktivní zónu)
Q1	písčitý jíl	F4/CS	podmínečně vhodná	podmínečně vhodná
Q3	písek	S3/S-F	vhodná	podmínečně vhodná
Q4	hlinitý písek	S4/SM	podmínečně vhodná	podmínečně vhodná
Q5	jílovitý písek	S5/SC	podmínečně vhodná	podmínečně vhodná
K1	jíl	F6/CI	podmínečně vhodná	nevhodná
Y1	eluvium granitu - písek	S3/S-F	vhodná	podmínečně vhodná
Y1	eluvium granitu - hlinitý písek	S4/SM	podmínečně vhodná	podmínečně vhodná

Namrzavost zemin je stanovena podle makroskopického popisu a zatřídění zemin. Popsána je také v následující tabulce. V příloze č.4 jsou také ve zobrazených oblastech stupně namrzavosti uvedeny křivky zrnitosti jednotlivých odebraných vzorků.

tabulka 4 - Namrzavost zemin

Symbol geotypu	Název zeminy	ČSN 73 6133	Obsah jemných částic f (%)	Namrzavost zeminy podle obr.1, ČSN 73 6133
Q1	písčitý jíl	F4/CS	35-65	namrzavé až nebezpečně namrzavé
Q3	písek	S3/S-F	5-15	nenamrzavé až mírně namrzavé
Q4	hlinitý písek	S4/SM	15-35	mírně namrzavé až namrzavé
Q5	jílovitý písek	S5/SC	15-35	mírně namrzavé až namrzavé
K1	jíl	F6/CL,CI	>65	nebezpečně namrzavé
Y1	eluvium granitu - písek	S3/S-F	5-15	nenamrzavé až mírně namrzavé
Y1	eluvium granitu - hlinitý písek	S4/SM	15-35	mírně namrzavé až namrzavé

#### 4.2. Základová půda

Kvůli možnému návrhu založení případných malých stavebních objektů jako jsou například propustky nebo konstrukce dopravního značení uvádím v následující tabulce směrné normové charakteristiky a hodnotu tabulkové výpočtové únosnosti zastižených zemin tak, jak je uváděla stará norma ČSN 73 1001 – Základová půda pod plošnými základy. Zastižené vrstvy zemin a hornin s podobnou charakteristikou a podobnými vlastnostmi byly rozděleny do skupin geotypů a jsou označeny symboly a čísla geotypu. Stejná označení byla použita také v příloze č. 2 - Dokumentace sond, kde je v popisu jednotlivých vrstev uvedeno jejich zatřídění. Jednotlivé zastižené zeminy byly zatříděny podle makroskopické prohlídky vytěžených hornin. V případě, že se křivka zrnitosti zastižených zemin pohybovala v blízkosti hranice mezi jednotlivými třídami, bylo přihlédnuto k výsledkům laboratorních rozborů zemin.

tabulka 5 - Směrné normové charakteristiky zemin

Symbol geotypu	Popis	Konzistence ulehlost	ČSN 73 6133	$\nu$	$\beta$	$\gamma$ kN/m <sup>3</sup>	$E_{DEF}$ MPa	$c_u$ kPa	$\phi_u$ °	$c_{ef}$ kPa	$\phi_{ef}$ °	$R_{dt}$ kPa	m
Q1	písčitý jíl	pevný	F4/CS	0,35	0,62	18,5	6	70	5	14	23	250	0,2
Q3	písek	středně ulehlý	S3/S-F	0,30	0,74	17,5	12	-	-	0	28	180	0,3
Q3	písek	ulehlý	S3/S-F	0,30	0,74	17,5	18	-	-	0	30	275	0,3
Q4	hlinitý písek	středně ulehlý	S4/SM	0,30	0,74	18	6	-	-	2	28	150	0,3
Q4	hlinitý písek	ulehlý	S4/SM	0,30	0,74	18	10	-	-	4	30	225	0,3
Q5	jílovitý písek	středně ulehlý	S5/SC	0,35	0,62	18,5	5	-	-	4	26	115	0,3
Q5	jílovitý písek	ulehlý	S5/SC	0,35	0,62	18,5	6	-	-	6	27	175	0,3
K1	jíl	pevný	F6/CI	0,40	0,47	21,0	8	80	0	12	18	200	0,2
Q3	eluvium granitu písek	ulehlý	S3/S-F	0,30	0,74	17,5	25	-	-	0	32	275	0,3
Q4	eluvium granitu hlinitý písek	ulehlý	S4/SM	0,30	0,74	18	15	-	-	4	30	225	0,3

U nesoudržných zemin třídy S4-S5 platí hodnoty tabulkové výpočtové únosnosti pro zeminy s tuhou až pevnou konzistencí (týká se výplně). U ostatních tříd nesoudržných zemin odpovídají hodnoty příslušné míře ulehlosti. Tyto hodnoty platí pro hloubku založení 1 metr a šířku základu 1 metr.

U jemnozrnných zemin platí hodnoty tabulkové výpočtové únosnosti pro základy šířky do 3 metrů a hloubku založení 0,8 až 1,5 metru.

Zvýšení hodnot tabulkové výpočtové únosnosti je možné uvažovat, je-li hloubka založení a šířka základu větší než 1 m (viz níže). Hodnoty tabulkové výpočtové únosnosti uvádíme pouze pro snazší orientaci při návrhu základů. Pro statické posouzení doporučujeme postupovat dle zásad II. geotechnické kategorie (viz níže).

Se snížením hodnot tabulkové výpočtové únosnosti až o 30 % je třeba počítat v případě, že bude hladina podzemní vody pod základovou spárou v hloubce menší, než je šířka základu.

## **5. Závěr**

### **5.1. Morfologie**

Trasy stávajících cest, s jejichž rekonstrukcí se uvažuje, jsou ve většině jejich délky vedeny přibližně v úrovni povrchu okolního terénu. Násypy menších výšek se nachází v místě křížení s vodotečemi. Vyšší násep je v místě křížení cesty C19 s bezejmenným potokem (dokumentuje sonda J02), dále v místě křížení cesty C18 s přítokem do malé vodní nádrže (dokumentuje sonda J15). Po násypu je vedena také jihovýchodní část cesty C2, která prochází po hraně staré, dnes již rekultivované pískovny. Také niveleta rekonstruovaných cest bude přibližně kopírovat povrch okolního terénu.

### **5.2. Geologická a hydrogeologická charakteristika**

Podloží zkoumaných úseků cest je dokumentováno sondami provedenými do hloubky dvou metrů. Následující text dokumentuje složení a původ podložních zemin v této přípovrchové zóně.

V převážné většině všech zkoumaných cest byly do hloubky dvou metrů zastiženy pouze kvartérní písčité sedimenty, případně navážky, které jsou součástí jejich těles. Jedná se převážně o středně ulehlé až ulehlé, slabě hlinité písky s příměsí štěrkové frakce třídy S3/S-F, o hlinité písky s příměsí štěrkové frakce třídy S4/SM, případně o středně ulehlé až ulehlé jílovité písky třídy S5/SC. V oblasti jižní části cesty C19 reprezentované sondami J01 a J02 a jihovýchodní části cesty C26 v místě sondy J09 jsou kvartérní sedimenty zastoupeny pevnými písčitymi jíly třídy F4/CS.

Jižní konec cesty C19 přibližně k bezejmennému potoku prochází územím, kde se pod povrchovými kvartérními sedimenty nachází křídové sedimenty ve vývoji středně plastických jílů.

Severovýchodní část cesty C19 a jihovýchodní část cesty C26 končí v oblasti, kde zcela rozložená eluvia granitu vystupují téměř k povrchu terénu.

### **5.3. Podzemní voda**

Podzemní voda byla do hloubky dvou metrů zastižena pouze v místě sond J02, J08, J10 a J11. Zastižena byla v hloubce 1,0-1,2 metru. Kvůli nestabilitě písčitých stěn vrtů došlo k zavalení vrtů a nebylo možné změřit úroveň ustálené hladiny podzemní vody. Protože voda byla vázána na průlinově propustné, písčité zeminy, je možné očekávat, že její ustálená hladina bude přibližně ve stejné úrovni jako hladina naražená. V místě sondy J02 byla podzemní voda vázána především na písčité zpětné zásypy starého propustku.



## 5.4. Aktivní zóna

V jižní části cesty C19 a v části cesty C26 v prostoru sondy J09 budou aktivní zónu tvořit především pevné, nebezpečně namrzavé písčité jíly třídy F4/CS. Ve zbývajících částech cest tvoří aktivní zónu především slabě hlinité písky třídy S3/S-F, případně hlinité písky třídy S4/SM.

Pro zhutnění slabě hlinitých písků třídy S3/S-F je možné očekávat, že se hodnoty deformačního modulu budou ve druhém zatěžovacím cyklu statické zatěžovací zkoušky deskou pohybovat v rozmezí 10-30 MPa. S přibývajícím zastoupením jemnozrnné frakce se hodnoty budou snižovat. U písčitých jíloř třídy F4/CS pevné konzistence je možné očekávat hodnoty v intervalu 5-10 MPa.

V úrovni zemní pláň bývá obvykle požadováno dosažení hodnoty deformačního modulu  $E_{DEF,2} \geq 45$  MPa z druhé zatěžovací větve při provedení metodikou dle ČSN 72 1006 - metoda dle přílohy „A“, poměr  $E_{DEF,2}/E_{DEF,1} \leq 2,5$ . Nedosáhne-li se uvedeného modulu ani po přehutnění povrchu pláň, je třeba zeminu vyměnit za vhodnější pro hutnění nebo přistoupit ke zlepšení vlastností zemin přidáním vhodného pojiva.

Požadovanou hodnotu deformačního modulu v úrovni zemní pláň doporučuji upravit v závislosti na zvoleném typu konstrukce vozovky. Pro zlepšení hodnot deformačních modulů je možné využít geotextilií nebo jiných geosyntetik.

## 5.5. Vodní režim

V jižní části cesty C19 a v části cesty C26 v prostoru sondy J09 klasifikuji vodní režim jako velmi nepříznivý, kapilární. V částech, kde podloží tvoří slabě hlinité písky třídy S3/S-F nebo hlinité písky S4/SM a kde podzemní voda nebyla do hloubky dvou metrů zastižena, je klasifikace vodního režimu obtížná. Na základě malé kapilární výšky uvedených zemin a při uvážení stávajícího stavu současných cest považuji za možné vodní režim klasifikovat jako příznivý, difúzní.

## 5.6. Zemní práce

Svahy stavební jámy se dnem nad hladinou podzemní vody a maximální hloubkou dva metry je možné na přechodnou dobu upravit do následujících maximálních sklonů.

**tabulka 6 - Sklony svahů**

	písčítá hlína	1 : 0,5
Q1	písčítý jíl	1 : 0,5
Q3	písek	1 : 1,5
Q4	hlinitý písek	1 : 1
Q5	jílovitý písek	1 : 1
K1	jíly	1 : 0,5

Svahy hlubších stavebních jam je nutno individuálně posoudit statickým výpočtem.

Průzkumnými sondami byly do jejich konečné hloubky zastiženy převážně zeminy s těžitelností klasifikovanou dle zrušené normy ČSN 73 3050 – Zemní práce třídou 2.-3. S vyšší třídou těžitelnosti lze počítat ve větších hloubkách především v místě, kde podloží tvoří eluvia granitu.

Dle ČSN 73 1005 – Inženýrskogeologický průzkum klasifikuji tyto zeminy třídou I.

### **5.7. Založení drobných objektů, obecná doporučení**

Založení případných drobných stavebních objektů bude na lokalitě možné provést plošně na základových pasech nebo patkách. Základovou půdu mohou tvořit slabě hlinité a hlinité písky, pevné písčité jíly, pevné vysoce plastické jíly nebo také eluvia granitu. Jako minimální hloubku založení doporučuji 0,8 metru.

V případě, že budou v průběhu stavebních prací zjištěny skutečnosti, které nevyplývají z předložené zprávy, doporučuji kontaktovat zpracovatele.

Pro stádium výstavby doporučuji pravidelné provádění kontrol míry zhutnění podložních zemin a zemin násypů. Při zakládání stavebních objektů doporučuji provést přejímku základové spáry, nejlépe zpracovatelem posudku.

V Křemži dne 17.10.2022

Zpracoval: Ing. Martin Janda